

金苏水文地質和工程地質科学研究所

---

# 工程地質与水文地質 工作研究和计算法

И. В. 波波夫 等著

地质出版社

148284

3562

5/3435; /

K.J.

(自  
希)

全苏水文地质和工程地质科学研究所

# 工程地質与水文地質 工作研究和計算法

И. В. 波波夫 等著

地质出版社

1958·北京

ВСЕСОЮЗНЫЙ НАУЧНО-ИССЛЕДОВАТЕЛЬСКИЙ ИНСТИТУТ  
ГИДРОГЕОЛОГИИ И ИНЖЕНЕРНОЙ ГЕОЛОГИИ

МЕТОДЫ ИССЛЕДОВАНИЙ И РАСЧЕТОВ  
ПРИ ИНЖЕНЕРНО-ГЕОЛОГИЧЕСКИХ  
И ГИДРОГЕОЛОГИЧЕСКИХ  
РАБОТАХ

ГОСГЕОЛИЗДАТ

МОСКВА 1951

本書为一論文集，其中收集了波波夫等人的有关工程地質和水文地質方面的八篇論文。

書中分別叙述了不同成因类型粘土类岩石結構之顯微鏡的和物理化学的研究方法；傾斜岩層構成的邊坡穩定性的計算法；非均質岩層中坑井之湧水量計算法以及研究潛水动态和平衡的方法等，各篇文章的特点是極為实用。

本書适于担任实际工作或研究工作的工程地質人員与水文地質人員閱讀，同时也是各地質院校师生的一本参考書。

工程地質与水文地質  
工作研究和計算法

著 作 И. В. 波 波 夫 等

譯 者 楊 希 文、徐 祖 森、仇 建 陽

出 版 者 地 質 出 版 社

北京宣武門外永光寺西街 3 号  
北京市審刊出版業營業許可證出字第 050 号

發 行 者 新 華 書 店

印 刷 者 天 津 人 民 印 刷 厂

印数(京)1—2,400册 1958年3月北京第1版

开本 31"×43"1/2 1958年3月第1次印刷

字数 200,000 印張 8<sup>24</sup>/25

定价(10)1.20元

## 目 錄

- 某些不同成因类型粘土类岩石結構之  
 顯微鏡的和物理化学的研究 ..... И. В. 波波夫 (4)
- 傾斜岩層構成的斜坡和邊坡之穩定性  
 計算 ..... Е. П. 叶密爾雅諾娃 (16)
- 根據極性攝影測量資料研究坍方現象 ..... Н. А. 赫連尼科夫 (65)
- 礫石类岩石顆粒成分、容重和孔隙度  
 之野外試驗測定 ..... В. Л. 杜布羅夫金 (81)
- 測定砂和砂質粘土类岩石滲透係數的  
 大型原狀土注水法 ..... В. Л. 杜布羅夫金 (85)
- 在河間地區垂直方向非均質岩層中  
 坑井之湧水量 ..... Н. К. 吉林斯基 (90)
- 五、七層含水層地下水相互連接條件  
 下地下坑道湧水量之計算 ..... Н. К. 吉林斯基 (130)
- 根據長期觀測資料研究潛水的动态和  
 平衡 ..... А. В. 列別捷夫 (199)

# 某些不同成因类型粘土类岩石結構之 顯微鏡的和物理化学的研究

· И. В. 波波夫

土質学的基本任务是研究土的强度，解决这个任务可以用不同的方法。为使各个实际問題更加容易解决，土的强度一般可分为机械的、物理的和物理化学的三种。在实用方面最重要的是机械强度，它依决定土的状态的物理条件和化学条件为转移。土——复杂的多分散体系——的机械强度由土的固体颗粒的形状和彼此之间的相互关系决定。

如果土颗粒之間發生結合(连接)，其强度就会增加。这种結合使土中的颗粒維持一定的空間关係，亦即使土保持原有的結構。因此，建立在土颗粒之間的結合称为結構結合[2]。

像固体物質有各种結合那样，結構結合也是不相同的。决定土結構結合的因素有：(1)分子引力；(2)相似的結晶格架的連晶；(3)在交換游子参加下同性电荷的面与点之間的联系程度[3]；(4)颗粒面上各点电荷不相同时彼此之間的静电引力(负異电荷的膠体的凝結)[2]。

后一种結構結合可能是依附性的。

結構結合使土颗粒結成隱微結構，顯微結構和粗結構的集合体[3]。

本文僅研究不同成因类型土的隱微結構構成和部分地研究其顯微結構構成和結構結合的性質。

本文資料係用偏光顯微鏡研究不同成因类型土的結構結合的結果。

当时曾進行下列工作：

(1) 藉顯微鏡觀測各种試剂对土作用时集合体的分解，由于集

合体的分解，結果使交換陽离子成分發生变化或介質的 pH 值發生变化，亦即近全晶質結構結合或異性电荷的膠体相互凝結而構起的結合發生解离；

(2) 用依次膠溶法（用 A. Ф. 丘林和 T. A. 馬洛馬霍娃法[4]）和集合体抗水性測定法（Д. Е. 西傑耳 Сидеръ[5]法）研究土的集合体成分。

依次膠溶法是在集合体逐次破坏情况下重复地進行粒度分析。开始时用單价鈉离子使土或土壤的交換能力飽和，然后加塔姆(Тамм)試剂 (31.25克H<sub>2</sub>C<sub>2</sub>O<sub>4</sub>+62.1克H<sub>4</sub>C<sub>2</sub>O<sub>2</sub>+2.3克 H<sub>2</sub>O；試剂的pH值为3.2—3.27)，經過这样处理后，集合体便被破坏。

西傑耳法是以岩石經水处理后其中粘土顆粒含量与經 0.5N 的 NaOH 溶液处理后分出的粘土顆粒附加含量相比較的方法來确定对水穩定的集合体含量。

結構的抗水強度 (водопрочность) 可用抗水性指标測定法研究

$$S = \frac{K}{K_s - r},$$

式中  $K$ ——毛細管容積，可用油或其他惰性液体飽和方法求得；

$K_s$ ——用水飽和时毛細管容積；

$r$ ——由于岩石吸收水增加土样容積时  $K_s$  值的校正值。

校正值按下式計算：

$$r = \frac{K_s Q}{100},$$

式中  $Q$ ——容積增值 (以%計)。

研究时采取了下列种类的土：

(1) 次深海沉積——褐色的里海粘土和中新統灰色粘土。

(2) 冲積沉積——河谷平原的亞粘土 (深度1.35—1.50公尺) 和淤泥質沉積 (河底)。

(3) 坡積沉積——复盖亞粘土。

(4) 湖成沉積 (?)——侏罗紀湖成 (?) 粘土和石炭紀含煤岩系的灰色粘土。

## 裏海粘土

用放大鏡鑑別，粘土是緻密的，棕褐色，呈層狀構造。用顯微鏡鑑別時在反射光線下（即當稍放大時）粘土塊垂直層面的表面上可以看到土的構造呈層狀，而層面上稀散地“堆積”着圓滑的石英質細砂粒（圖1）。

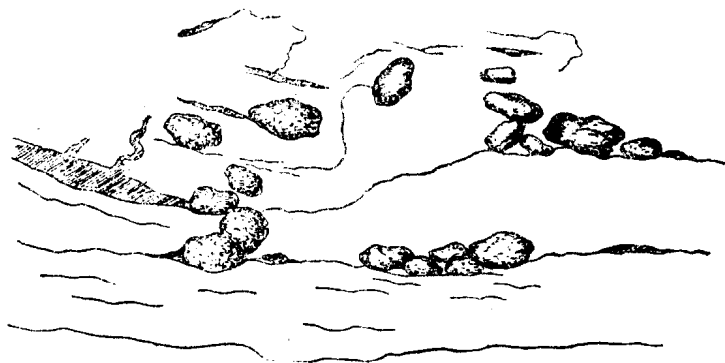


圖 1

粘土的性質有下列指標：液限等于70，塑限—27，塑性指數—49；最大分子水容度24%。交換離子含量（以毫克當量計）：鈉—11.9，鈣—18.8，鎂—5.4。吸收容量（以毫克當量計）：按格德羅依茨—28.0，按總吸收陽離子量—34.08。

將粘土塊放于載物玻璃上，用水浸潤時，它便很快地分解為十分之一公厘左右大小的土粒。但用細玻璃棒攪拌時，則分解速度加快，而分解程度也加強，粘土顆粒直徑減少至 $10\mu$ 。顆粒為粒狀（而不是屑片或細混濁物），具有雙折射和集合體的偏振化性質，或直線消光的性質。粘土用油浸潤時不會發生分解。

用水調勻的粘土烘乾後能變成光性各向異性的隱微結構集合體。再度浸潤時會發生膨脹。

在沖洗去鹽類的情況下（反覆地在蓋玻璃下滲水），部分粘土保持粒狀結構，而部分土粒則分解為小於 $1\mu$ 的顆粒（這種現象在用鈉

飽和微晶高嶺粘土的試驗中也可看到)。

試樣在過濾器上用 $\text{CaCO}_3$ 溶液預先處理後，在水溶液中土粒幾乎不分解。而當試樣在過濾器上用 $\text{pH}=11$ 的苛性鈉液以及塔姆試劑處理時，過濾液中就可能出現鐵質。

在下列表中列出了用依次膠溶法和抗水性測定法求得的膠質顆粒和由它形成的集合體的含量。表中按丘林和馬洛馬霍娃法分析後所獲得數據要比用西傑耳法所獲得的結果更加符合於顯微鏡觀測的結果，因為岩石用鈉液處理後，小於 $1\mu$ 的顆粒含量增加得不足。

土經不同處理時膠質顆粒含量(以%計)

	里海粘土	沖積亞粘土	坡積亞粘土
丘林和馬洛馬霍娃法			
用鈉離子飽和時			
顆粒直徑 $<0.3\mu$ .....	9.9	2.53	6.8
顆粒直徑 $0.3-1\mu$ .....	57.7	14.75	33.2
用塔姆試劑處理時			
顆粒直徑 $<1\mu$ .....	1.1	6.09	0.9
西傑耳法			
用水處理時			
顆粒直徑 $<2\mu$ .....	72.8	3.74	7.8
用 $0.05\text{N}$ 的 $\text{NaOH}$ 溶液處理時			
顆粒直徑 $<2\mu$ .....	22.1	65.35	80.42

因此，岩石的結構結合主要是鈣離子及鈉離子參與下的近全晶質結合(鈉離子似乎要少些)。

### 中新統粘土

灰色薄層狀粘土處於中密狀態。在顯微鏡下有特殊的層理；在介殼溶濾處有規則地分布有 $0.5-1$ 公厘的小空洞(圖2)。

粘土的最大分子水容度很高①，等于27%，这說明它的分散性是很大的。按照格德罗依茨法求得陽离子交換能等于47.7毫克当量。因此，我們可以推測，粘土成分中微晶高嶺土礦物含量是很高的。

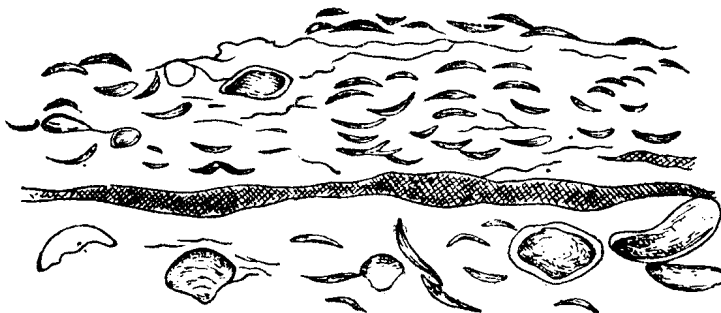


圖 2

將用水調勻的粘土放在顯微鏡（在全部放大情況下）下檢驗時，發現粘土和鈣質微晶高嶺土粘土非常相像。它几乎完全由隱微結構的近全品質顆粒組成，有一級藍色干涉光澤，雙折射和直線消光的性質。粒徑自50至 $100\mu$ 。

粘土標本預先在過濾器上用NaCl標準溶液處理若干次並經清洗後，用顯微鏡檢驗時清楚地看見這些集合體狀土粒開始分解（其松散性很明顯）。

粘土標本用水洗滌的方法是在蓋玻璃下浸水，再用過濾紙（放在邊緣）將水濾出，洗滌的結果說明，粘土粒是抗水性的。但是用NaCl標準溶液同樣處理的結果很有意義。由於部分集合體的解膠，在濾出的溶液中出現細顆粒。溶液五次替換後在蓋玻璃下放進水。此時集合體分解顯著增加，但余留的集合體仍未失去干涉光澤。第二次換水後集合體松散，正交偏光鏡的干涉光澤（一級黃色）也減弱。第三次換水更加劇分解，干涉光澤也更弱，變成灰色。

①最大分子水容度按 A.Ф. 列別捷夫法求得。

余留土粒在輕微的机械作用（用玻璃棒或移动盖玻璃二三次）下集合体完全分解。它具有集合体沒有的而僅在某些土粒中可以看到的另一性質的双折射，很可能，土粒是粘土的碎屑狀元素。

顯然，此粘土的隱微結構集合体可視為鈣質近全晶質体。需要的鈣可能是由于介壳的溶解，或者靠海水鹽份供給。

顯然，由于負異电荷溶膠相互凝聚成的結構，此粘土中是很微少的，或者是沒有的。

### 河谷平原的冲積亞粘土

冲積亞粘土有下列特征：容重 1.87，天然湿度 30%，孔隙度 48.7%。塑性界限：塑限—18，液限—36，塑性指数—18。

$\text{CO}_2$  含量 5.98%，陽离子吸收容量：按格德罗依茨—14.4毫克当量，鹽基吸收总量—17.1毫克当量。交換陽离子（以毫克当量計）：鈣—13.8，鈉—0.23，鎂—3.1。

集合体組成見表(表 5)。結構抗水指标等于 1.0。也就是說，浸水时結構結合不遭受破坏。

顯微鏡觀測結果說明，岩石含有大量圓滑的、局部粗糙的砂粒。浸水时和砂粒粘結的粉土顆粒很易脫落。

在蓋玻璃上輕微敲击时，几乎完全分解，但由粉土顆粒和膠質組成的顯微結構的集合体部分仍旧殘留。这些集合体在水中膨脹約 10—15%。細顆粒（小于  $5\mu$ ）看起來是透明的。和用水洗滌一样用塔姆試剂，以及用  $\text{pH}=8.7$  的  $\text{NaOH}$  溶液处理所引起的变化不大：由此可見，部分土粒是砂粒，而部分是包含粉土粒的集合体。集合体狀堆積分解不大。当土在表玻璃上与上述試剂調拌时在顯微鏡中很清楚地看到集合体分解。用小棒攪拌时，分解更劇。

用  $\text{NaCl}$  溶液处理隨后再洗滌时，集合体分解程度較小。砂和粉土顆粒仍旧相互粘結，并形成松散的屑狀堆積。細顆粒并不分离。 $\text{NaCl}$  溶液处理后細砂粒四周的褐色附着薄膜也仍保留。僅用塔姆試剂处理后細砂粒才完全清淨。

因此，主要結合物質或者是相互沉淀的凝膠，或者僅是氫氧化

铁。

这些根据顯微鏡檢驗結果得來的特征，部分符合于丘林和馬洛馬霍娃依次解膠法的数据，而較用塔姆試劑處理求得的膠質顆粒含量要高，後者的膠質顆粒含量僅佔6.09%。用鹼液處理後，求得的膠質顆粒含量（65.35%）更大。

在本場合顯微鏡檢驗法結果良好。

### 河底淤泥質沉積

这种岩石的試样的最大分子水容度为16%。陽离子吸收容量相当于12.43毫克当量。据最大分子水容度來判断，在顆粒組成方面，沉積物屬亞粘土。

新鮮的沉積物为深灰色；保藏在封嚴的密閉容器中有顯著的硫化氫气味，它說明沉積物的成分中有硫酸亞鐵。

在顯微鏡載物玻璃上觀察水中呈懸浮狀態的沉積物時，發現含有大量的直徑為十分之几公厘的砂顆粒。它們部分地由含石英質粉土的深色松絮狀物質膠結。

因为粗砂使蓋玻璃和載物玻璃不能很好地蓋緊，在表玻璃上，用水調拌沉積物。沉淀部分为含石英質粉土的深褐色絮狀膠質粘結的砂。而在水中剩余多量的黃色輕絮狀膠結物，水流也不能衝散。砂粒外表不像是石英質，復蓋着大量褐色膠質。

当放大570倍时能看見屑狀結構，它由直徑等子和小于 $1\mu$ 的圓顆粒組成。水流不能衝散絮狀結構，即使放大980倍也不能看清顆粒間接觸處。鏈狀結構（如果顆粒組成鏈狀）的顆粒間接觸處也看不清楚。這說明，即使在接觸處很小的場合下，粘結力仍是相當大的。

为弱水流帶动細顆粒流過粗顆粒旁邊時，在离它一定距離處繞過，但在個別絮狀結構處，則被粘住，在水流中打轉，並結合成集合體。

沉積物用鈉离子飽和（隨後洗去电解質）的方法僅引起很小的變化：砂粒仍被粘結着，由膠質和細碎屑顆粒組成的集合體亦不分解。

标本用塔姆試劑洗滌和輕輕地研磨後，沉積物變成很純潔。砂粒看起來是透明的，僅僅在某些地方仍保留粘土堆積。褐色的膠質已不

能看到。标本用  $\text{pH}=8.4$  的鹼液处理时，砂粒就不会这样純潔，此时仍殘余多量褐色的漂浮細屑。

觀測資料說明，主要的結構膠結物可能是三氧化二鐵，主要是相互沉淀溶膠中的氫氧化鐵。交換鈣离子参与的近全晶質的結構結合的作用不顯著。但是假定鈣离子存在还是必要的。因此可以說陽离子交換能力是有的，但不高，并且塔姆試剂处理后仍保留抗水的集合体。

### 坡積的復蓋亞粘土

岩石的容量1.97，孔隙度—43%；塑性界限：塑限—18，液限—42，塑性指数—24，最大分子水容度16%。

陽离子吸收容量（以毫克当量計）：接格德罗依茨—22，按什麥列夫—24，接吸收陽离子总量—24。交換陽离子的成分（以毫克当量計）：鈉—1.5，鈣—13.3，鎂—9.2。用不同方法求得的集合体含量指标（見第7頁膠質顆粒含量表）不一致。

結構抗水性指标  $S$  等于0.56，也即是說，岩石在水中，結構結合會分解。

顯微鏡檢驗結果指出，乾燥的岩石浸水后，几乎剎那間分解为土粒。其中有由粉土組中最小直徑的粉土顆粒組成的集合体。当标本用油浸潤时，則分解程度不大，砂粒仍膠粘着細粉土顆粒。

和水一起搓碎再烘乾的标本，浸水时并不分解。当岩石在過濾器中用  $\text{pH}=8.7$  的鹼液洗滌时，過濾液为黃色混濁液，而用塔姆試剂洗滌时，則透明。

当标本在載物玻璃上用同样鹼液处理时，以前复蓋着褐色物質的石英粒，变得很清淨。用鹼液第二次洗滌后分出多量的細顆粒和黃色及无色的絮片。后者的运动，有时僅能靠沉沒于其中的細礦物粒的运动看出來，如果标本未經鹼液处理，則單个的細顆粒較少，但屑片成分中仍包含很多。在这种情况下看到由砂和粉土顆粒組成的集合体。

塔姆試剂的作用很小；第二次洗滌后仍殘留密实的粗絮片和复蓋石英粒的褐色薄膜。

用1N的 $\text{NaCl}$ 溶液洗滌四次并随之洗去电解質后，除了在岩石中未

处理前看到的集合体外，現在可以看到細粒的“小散落堆”。預先用塔姆試劑和鹼液處理的標本重複洗滌後也得到同樣結果。

因此，根據顯微鏡檢驗結果可以得出結論，坡積亞粘土的結構結合部分為鈣離子參與的近全晶質的結合，而部分為相互沉淀形成的凝膠。

坡積亞粘土和前述的沖積亞粘土間的區別是前者有鈣離子參與的結構結合。在顯微鏡下結構也有抗水特徵，但坡積亞粘土抗水性要低得多 ( $S=0.54$ ，而沖積亞粘土  $S=1.0$ )。

### 侏羅紀湖成 (?) 粘土

根據A.Д. 阿爾漢格爾斯基、B.H. 克列斯托弗尼科夫和Н.Г. 庫爾巴托夫[1]等人的著作，此“梅洛夫卡 (мывовка)”品級粘土的礦物成分如下：云母—16%，高嶺土—34%，石英—37%。此成分系根據化學分析數據算得，而未被X光分析証實。

陽離子交換容量 13.9 毫克當量，如果計算岩石成分的交換容量時，除去其中的石英和云母，那麼由於前者交換容量幾乎沒有，而後者很小，粘土的交換容量為40毫克當量，也即為高嶺土的 8—10 倍，微晶高嶺土的 2—2.5 分之一。

所以庫丁粘土的粘土粒組的礦物成分想必是很複雜的，它既含微晶高嶺土，也可能有伊利水云母。

顯微鏡檢驗的結果表明粘土含有少量直徑數微米的石英顆粒。

粘土浸水之後，完全分解為直徑約  $1\mu$  的顆粒，但此僅在蓋玻璃輕輕摩擦時才能看到。沒有摩擦時，集合體是抗水的。在正交偏光鏡下具有雙折射性質，但有集合體性的偏光(直線消光不顯著)。對於浸油的標本，可看到消光，但無規則，幾乎是約為  $5\mu$  的無定形的綫段。

和水一起搓碎再烘乾後的粘土含有集合體，即使用蓋玻璃摩擦後，它在水中也不分解。在洗淨電解質前飽和鈉的粘土(在過濾漏斗上用1N的NaCl溶液飽和)部分有集合體性質的顆粒，而部分為單個細粒(小於  $1\mu$ )。洗淨電解質後便完全膠溶。如果粘土用鈣飽和後再用水洗滌，則粗粒含量和天然狀態几乎完全相同。集合體含量也不增

加。高嶺土粘土也有这种性質。

用鈉和鈣饱和后庫丁粘土在水中性狀不同。鈣粘土能完全自由地混合，而且彼此分离。鈉粘土則出現膠凝現象，形成凝塊，即使在顯著放大情況下，凝塊間的接觸也是相同的。

烘乾的鈣粘土和鈉粘土在載物玻璃上很好地研磨后，浸潤时二者並沒有大的差異。顯然，影响粘土性狀的是玻璃和水間的表面張力，而非顆粒和水間的表面張力。

因此，研究結果說明，庫丁粘土既有对水穩定的，也有見水膠溶的結構結合。对水穩定的集合体的機械強度并不大。飽和鈣並不增加对水穩定的集合体含量。而鈉饱和时則完全膠溶。这点說明，粘土粒組組成中既有高嶺土組，又有微晶高嶺土組礦物。后者由于岩石的鈣天然飽和性，形成近全晶質的鈣集合体。

### 石炭紀湖成(?)粘土

无论在干燥状态，或在潮湿状态，研究試样(A和B)为緻密的，甚至坚实的粘土，和10%濃度HCl溶液完全不起作用。

試样A的最大分子水容度为15%，而試样B为12.5%。試样A的陽离子吸收容量(以毫克当量計)为16.12，試样B—21.24；而粘土A的緻密包裹体(試样C)—16.12，也即和粘土A一样。在水中A和B粘土塊緩慢地散开。当搖擺时形成薄懸浮液，数日后有5—7公分厚水層未沉淀。包裹体C僅是在水中才分解，而且形成若干長久不沉淀的懸浮液。

在顯微鏡中可以看到，这二种粘土粉在水中分解时形成直徑为十分之几和百分之几公厘的土粒；同时形成直徑等于 $1\mu$ 和更小的細颗粒。这种懸浮颗粒(当烘乾时)集結并排列成密实的条形，但浸水后又重行分解为颗粒。

当用手指在表玻璃搓磨时粘土A几乎完全解离为直徑等于或大于 $30\mu$ 的颗粒；但沒有更大的；在同样条件下弄碎粘土B却需要更大的力量。

粗大和細小集合体颗粒物質的特性是相同的，而第二种颗粒正是

第一種顆粒機械碎裂的產物。它們是完全同質的，雖然在光學是各向異性。在其成分中看不到任何石英或其他礦物碎屑顆粒（圖 3）。

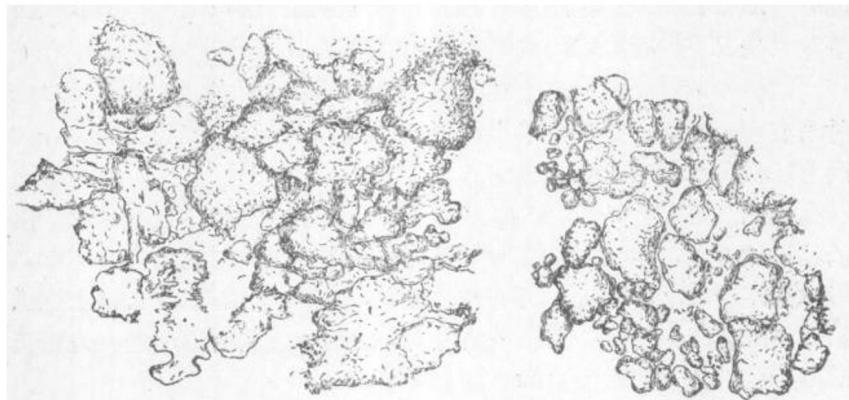


圖 3

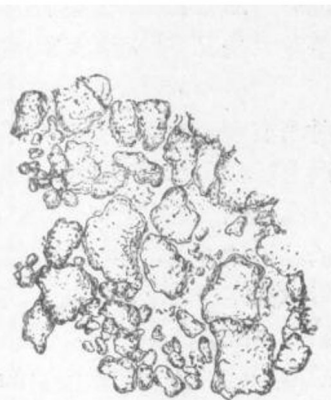


圖 4

粘土 *A* 饱和鈉后，当放大 980 倍时，可看到它在水中的懸浮体是由大小等于  $1\mu$  至  $3\text{--}4\mu$  的圓顆粒組成。以前集合粒很多，現在变得很少。这些集合体似乎由完全均匀的、但非常緊密結合的顆粒組成。饱和鈉的粘土 *B* 在水中解膠溶成直徑  $1\mu$  到  $30\mu$  的顆粒。

粘土 *A* 和 *B* 用鈣离子饱和后并不变更其性質及性狀。

應該指出，鈣离子被鎂离子从吸收状态中挤出时开始進行很快，結尾則拖長很久（1个月），但進行得均匀，少量。这同样證明物質处于密实状态。

当粘土粉 *A* 和 *B* 被油浸潤时顆粒大小不变更，也即并不分解（圖 4）。

根据上述实验，顯微鏡觀測結果試料 *A* 和 *B* 中的粘土应認為是很密的，而包裹体 *C* 应称为泥板岩，如果此術語以往并未在他处应用的話。粘土之压实度和均質性如此大，因而很难說为集合体結構，而它已很接近于鑲嵌結晶格架。

## 参 考 文 献

1. Архангельский А. Д., Крестовников В. Н. и Курбатов И. Г. Каменноугольные отложения Кудиновского района и кудиновские оgneупорные глины. Бюлл. Моск. об-ва исп. прир., отд. геол., т. II, № 1—2, 1923—1924.
2. Попов И. В. Основы инженерно-геологического грунтоведения. Госгеолиздат, 1940.
3. Попов И. В. Кристаллическая природа структуры глинистых грунтов. Доклады АН СССР, т. XLVI, № 5, 1945.
4. Тюлин А. Ф. и Маломахова Т. А. Разделение почвенных коллоидов методом дробной пептизации. Труды Всес. науч.-иссл. ин-та уд. и агр., вып. 11, Физико-химия почв, II, 1935.
5. Физика почв в СССР. Сельхозгиз, 1936.

译者 徐祖森

# 傾斜岩層構成的斜坡和邊坡之 穩定性計算

E. П. 叶密尔雅諾娃

## 緒論

當計算邊坡和擡土牆之穩定性時，近似解法常簡單地假設滑動面為一平面，而不分析該平面斜率與邊坡極限高度或與邊坡坡度間的關係。通常僅以最危險的滑動面位置，來推演所有最後計算公式。

但沿平面滑動，不僅是一種簡單的假設，而且在實際情況下也符合於一定的並時常遇到的地質條件。不論是天然斜坡、還是人工邊坡和路壘，往往與以各種角度傾斜的、其走向與邊坡方向不盡一致的成層岩石相交。這些邊坡上坍方（滑坡）的特徵，與岩層類型和岩石埋藏條件有著密切的聯繫。

在堅硬岩石（石灰岩、砂岩等）中，坍方一般是沿着層理面產生，在這些滑動面中，往往具有粘土夾層或被膜。傾斜裂縫，特別是當其中具有粘土夾層時，也可成為滑動面。

厚層粘土地層中的坍方，可沿着層理面和其他種已有節理面，也可沿着切割層理並重新形成粘土整體的平面（“動力”面）產生。因為粘土中沿層理方向的凝聚力和摩擦力較其他方向上為小，所以傾斜粘土層的主要滑動面往往是全部或一部正與層理面相符合。下述情況可作為一個典型例子。

在由薄層極密粘土、並具有細砂夾層的和緩（約 $7^{\circ}$ ）斜坡上開挖坑壁垂直的基坑。在此處地層向着斜坡下方傾斜，傾斜角約為 $15^{\circ}$ 。基岩上全部復蓋4—5公尺的殘積和坡積上層。在殘積層底部具有少量潛水。基坑深12—13公尺，長100公尺以上，基坑的長邊與岩石走